

I-20 周期的外力をうける二相円柱の動的応答について

室蘭工業大学 正員。松岡 健一
北海道大学 同 能町 純雄

1. まえがき

円柱や円筒など円柱座標で表わされるものの動的は問題に対する研究は、これまでかなり多く行なわれていいが、これらの研究は主として、円柱あわび円筒を小されに對して行なわれてあり、これらを組合せて得られる複数の材料で出来ている二相円柱に対する研究はあまり見受けられない。著者らは先に、二相円柱を含む弾性波の問題を解消した¹⁾。本論文はこれを振動問題に応用し、同心円柱とおかれたり相円柱が、周期的な外力をうける場合の解析を三次元弾性論により行はしたものである。

2. 基礎方程式のフーリエ・ハンケル変換による解

円柱座標で表わされる運動方程式は、物体力を無視すれば

$$\left. \begin{aligned} & \frac{\partial^2 r}{\partial t^2} + \frac{\partial r - \partial \theta}{r} + \frac{\partial^2 \theta}{\partial r^2} + \frac{\partial^2 \theta}{\partial z^2} = p \frac{\partial^2 u}{\partial r^2}, \\ & \frac{\partial^2 \theta}{\partial r^2} + r \frac{\partial \theta}{r} + \frac{\partial^2 \theta}{\partial \theta^2} + \frac{\partial^2 \theta}{\partial z^2} = p \frac{\partial^2 v}{\partial r^2}, \\ & \frac{\partial^2 z}{\partial r^2} + \frac{\partial z}{r} + \frac{\partial^2 z}{\partial \theta^2} + \frac{\partial^2 z}{\partial z^2} = p \frac{\partial^2 w}{\partial r^2} \end{aligned} \right\} \quad (1)$$

となる。ただし $\partial_r, \partial_\theta, \partial_z$ は、 r, θ, z 軸方向の直応力、 $T_{rr}, T_{\theta\theta}, T_{zz}$ は、せん断応力、 u, v, w は、それぞれ r, θ, z 軸方向の変位、 p は弾性体の密度である。

ここで、外力を周期的外力とし、定常状態に限定するものとすれば、各変位成分を次のようにおくことができる。

$$u = \tilde{U} e^{i\omega t}, \quad v = \tilde{V} e^{i\omega t}, \quad w = \tilde{W} e^{i\omega t} \quad (a)$$

ただし、 ω は外力の円周運動数である。

変位と応力の関係は、弾性振動を仮定しているのでフックの法則が成り立つものとし、(a) の関係を(1)式およびフックの法則に適用し、円周方向(θ)あわび柱軸方向(z)にフーリエ変換を行ない、半径方向(r)にハンケル変換を行ない、フックの法則を考慮しながら(1)式を解けば、その解は有限円筒を例として次の

ようになる。

$$\tilde{U} = \frac{2}{\pi C} \sum_{n=0}^{\infty} \sum_{m=-n}^n C_n C_m (\tilde{A}_{mr} + \tilde{B}_{mr}) \cos m\theta \cos nz, \quad (2)$$

$$\tilde{V} = \frac{2}{\pi C} \sum_{n=0}^{\infty} \sum_{m=1}^{\infty} C_n (\tilde{A}_{mr} - \tilde{B}_{mr}) \sin m\theta \cos nz, \quad (3)$$

$$\tilde{W} = \frac{2}{\pi C} \sum_{n=1}^{\infty} \sum_{m=0}^{\infty} C_n \tilde{W}_{mr} \cos m\theta \sin nz, \quad (4)$$

$$\begin{aligned} \tilde{A}_{mr} = & \sum_{k=1}^{\infty} \left[\frac{1}{N_u} \chi_{mp}^{(k)}(N_u r) \left\{ \frac{1}{3u} \alpha_{mnk} \right. \right. \\ & + (m+1) A_{mnk} + (m-1) B_{mnk} - i \frac{N}{2} E_{mnk} \left. \left. \right\} \right. \\ & + \frac{MN^2}{pp^2} \left\{ \frac{1}{N_u} \chi_{mp}^{(k)}(N_u r) - \frac{N_u}{N^2} \chi_{mp}^{(k)}(N_u r) \right\} \\ & \times \left\{ \frac{1}{3u} \beta_{mnk} + (m+1) A_{mnk} - (m-1) B_{mnk} \right. \\ & \left. \left. - i N E_{mnk} \right\} \right], \end{aligned} \quad (5)$$

$$\begin{aligned} \tilde{B}_{mr} = & \sum_{k=1}^{\infty} \left[-\frac{1}{N_u} \chi_{ms}^{(k)}(N_u r) \left\{ \frac{1}{3u} \alpha_{mnk} \right. \right. \\ & + (m+1) \dot{A}_{mnk} + (m-1) \dot{B}_{mnk} + i \frac{N}{2} \dot{E}_{mnk} \left. \left. \right\} \right. \\ & + \frac{MN^2}{pp^2} \left\{ \frac{1}{N_u} \chi_{ms}^{(k)}(N_u r) - \frac{N_u}{N^2} \chi_{ms}^{(k)}(N_u r) \right\} \\ & \times \left\{ \frac{1}{3u} \beta_{mnk} + (m+1) A_{mnk} - (m-1) B_{mnk} \right. \\ & \left. \left. - i N E_{mnk} \right\} \right], \end{aligned} \quad (6)$$

$$\begin{aligned} \tilde{W}_{mr} = & \sum_{k=1}^{\infty} \left[G_m^{(k)}(N_u r) E_{mnk} + i \frac{3uN}{pp^2} \left\{ G_m^{(k)}(N_u r) \right. \right. \\ & \left. \left. - Q_m^{(k)}(N_u r) \right\} \left\{ \frac{1}{3u} \beta_{mnk} + (m+1) A_{mnk} \right. \right. \\ & \left. \left. - (m-1) B_{mnk} - i N E_{mnk} \right\} \right], \end{aligned} \quad (7)$$

ここで、 C は円筒の長さ、 $C_0 = 1/2$ 、 $C_1 = C_2 = \dots = 1$ 。

$N = n\pi/C$ 、($m = 0, 1, 2, \dots$)、である。

$$N_u^2 = N^2 - \frac{pp^2}{u}, \quad N_a^2 = N^2 - \frac{pp^2}{3u + u}$$

また、(5)～(7)式中の関数は、ハンケル変換の逆変換公式より得らるるもので、円筒の外半径を a_1 、内半径を a_2 とすれば、 I 、 K を変形才 1 種および才 2 種のベッセル関数として次のように表わされる。

$$\left. \begin{aligned} G_m^{(k)}(Nr) &= \frac{R_{m-m}^{(k)}(Nr)}{R_{m-m}^{(k)}(Na_k)} \\ X_{mp}^{(k)}(Nr) &= \frac{R_{m+1,m}^{(k)}(Nr)}{R_{m+1,m}^{(k)}(Na_k)} \\ X_{ms}^{(k)}(Nr) &= \frac{R_{m-1,m}^{(k)}(Nr)}{R_{m-1,m}^{(k)}(Na_k)} \\ R_{j,m}^{(k)}(Nr) &= I_j(Nr) K_m(Na_{k-1}) \\ &\quad - (-1)^{j+m} I_m(Na_{k-1}) K_j(Nr) \end{aligned} \right\} \quad (c)$$

$j = m-1, m, m+1, a_0 = a_1$

(5) ~ (7) 式中の係数は、円筒内外面の変位や応力のフーリエ変換値として与えられるもとで、

$$T_{ro} = \widetilde{T}_{ro} e^{ipx}, \quad \widetilde{T}_{ro} = \widetilde{\theta}_r e^{ipx} \quad (d)$$

である。

$$\left. \begin{aligned} d_{mnk} &= \int_0^{2\pi} \int_0^c (\widetilde{T}_{ro})_{r=a_k} w \rightarrow N z \cdot \sin m \theta dz d\theta \\ \beta_{mnk} &= \int_0^{2\pi} \int_0^c (\widetilde{\theta}_r)_{r=a_k} w \rightarrow N z \cdot \cos m \theta dz d\theta \\ A_{mnk} &= \frac{1}{2a_k} \int_0^{2\pi} \int_0^c ((\widetilde{w} \cos m\theta + \widetilde{v} \sin m\theta))_{r=a_k} w \rightarrow N z dz d\theta \\ B_{mnk} &= \frac{1}{2a_k} \int_0^{2\pi} \int_0^c ((\widetilde{w} \cos m\theta - \widetilde{v} \sin m\theta))_{r=a_k} w \rightarrow N z dz d\theta \\ E_{mnk} &= \int_0^{2\pi} \int_0^c \widetilde{w}_{r=a_k} \sin N z \cdot w \rightarrow m \theta dz d\theta \end{aligned} \right\} \quad (e)$$

である。

また、式(5)~(7)で与えられる解は、式から明らかなように、円筒の両端開すばかり $z=0, c$ の次の条件を満足する場合である。

$$\left. \begin{aligned} w|_{z=0} &= w|_{z=c} = 0, \quad T_{rz}|_{z=0} = T_{rz}|_{z=c} = 0 \\ T_{\theta z}|_{z=0} &= T_{\theta z}|_{z=c} = 0 \end{aligned} \right\} \quad (f)$$

この他の条件の場合には、また別に形で求められるが、ここでは一般的な解法だけを省略した。

(5)~(7)式は円筒を対象として示したが、円柱の場合も全く同じようにして求められ、式(2) (5)~(7)と同様になり、(5)~(7)式で、 $a_2 = 0$ とするところにより与えられる。ここで $k=1$ のときとすると、式中の関数も

$$R_{j,m}^{(k)}(Nr) = R_{j,m}^{(1)}(Nr) = I_j(Nr) \quad (g)$$

とおくことにより、(5)~(7)式を用いることとする。この円筒と円柱の解を組合せて、各境界の境界条件を満足するように、 α, β, A, B, E を求めることにより、各変位成分および、応力成分を求めることができる。

3. 境界条件

二相円柱は Fig. 1 に示すように、円柱をとりまいて弾性定数の異なる材料でできた円筒が、同心円状に重ねられているものとする。

いま、円筒の弾性定数、変位応力など全ての量を添字 1, 円柱のものを添字 2 で表すものとする。円筒と円柱の境界条件を考えるに先立ち、 A_{mnk} ,

B_{mnk} は式(e)の式 3, 式 4 式から、次の適合条件を満足しなければならない。

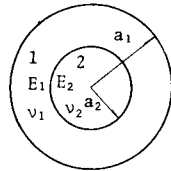


Fig. 1 = 相円柱

円筒に対して

$$\begin{aligned} a_k A_{mnk,1} &= \widetilde{A}_{mnk,1} \Big|_{r=a_k} = \sum_{j=1}^2 \left[\frac{1}{N_{kj}} X_{mp}^{(j)}(N_{kj} a_k) \right. \\ &\times \left\{ \frac{1}{2N_{kj}} \alpha_{mnj,1} + (m+1) A_{mnj,1} + (m-1) B_{mnj,1} \right. \\ &- \frac{iN}{2} E_{mnj,1} \Big\} + \frac{M_{kj} N^2}{P_j P^2} \left\{ \frac{1}{N_{kj}} X_{mp}^{(j)}(N_{kj} a_k) - \frac{N_{kj}}{N^2} \right. \\ &\times X_{mp}^{(j)}(N_{kj} a_k) \Big\} \left\{ \frac{1}{2N_{kj}} \beta_{mnj,1} + (m+1) A_{mnj,1} \right. \\ &- (m-1) B_{mnj,1} - iN E_{mnj,1} \Big\} \Big] \end{aligned} \quad (g)$$

$$\begin{aligned} a_k B_{mnk,1} &= \widetilde{B}_{mnk,1} \Big|_{r=a_k} = \sum_{j=1}^2 \left[\frac{1}{N_{kj}} X_{ms}^{(j)}(N_{kj} a_k) \right. \\ &\times \left\{ \frac{1}{2N_{kj}} \alpha_{mnj,1} + (m+1) A_{mnj,1} + (m-1) B_{mnj,1} \right. \\ &+ \frac{iN}{2} E_{mnj,1} \Big\} + \frac{M_{kj} N^2}{P_j P^2} \left\{ \frac{1}{N_{kj}} X_{ms}^{(j)}(N_{kj} a_k) \right. \\ &- \frac{N_{kj}}{N^2} X_{ms}^{(j)}(N_{kj} a_k) \Big\} \left\{ \frac{1}{2N_{kj}} \beta_{mnj,1} + (m+1) A_{mnj,1} \right. \\ &- (m-1) B_{mnj,1} - iN E_{mnj,1} \Big\} \Big] \end{aligned} \quad (h)$$

円柱に対して

$$\begin{aligned} a_2 A_{mn1,2} &= \widetilde{A}_{mn1,2} \Big|_{r=a_2} = \frac{1}{N_{k2}} X_{mp}(N_{k2} a_2) \\ &\times \left\{ \frac{1}{2N_{k2}} \alpha_{mn1,2} + (m+1) A_{mn1,2} + (m-1) B_{mn1,2} \right. \\ &- \frac{iN}{2} E_{mn1,2} \Big\} + \frac{M_{k2} N^2}{P_2 P^2} \left\{ \frac{1}{N_{k2}} X_{mp}(N_{k2} a_2) \right. \\ &- \frac{N_{k2}}{N^2} X_{mp}(N_{k2} a_2) \Big\} \left\{ \frac{1}{2N_{k2}} \beta_{mn1,2} + (m+1) A_{mn1,2} \right. \\ &- (m-1) B_{mn1,2} - iN E_{mn1,2} \Big\} \Big] \end{aligned} \quad (i)$$

$$\begin{aligned} a_2 B_{mn1,2} &= \widetilde{B}_{mn1,2} \Big|_{r=a_2} = -\frac{1}{N_{k2}} X_{ms}(N_{k2} a_2) \\ &\times \left\{ \frac{1}{2N_{k2}} \alpha_{mn1,2} + (m+1) A_{mn1,2} + (m-1) B_{mn1,2} \right. \\ &- \frac{iN}{2} E_{mn1,2} \Big\} + \frac{M_{k2} N^2}{P_2 P^2} \left\{ \frac{1}{N_{k2}} X_{ms}(N_{k2} a_2) \right. \\ &- \frac{N_{k2}}{N^2} X_{ms}(N_{k2} a_2) \Big\} \Big] \end{aligned} \quad (j)$$

$$-\frac{N_{\alpha}}{N^2} X_{mz}(N_{\alpha}, a_2) \left\{ \left(\frac{1}{3a_2} \beta_{mn1,2} + (m+1) A_{mn1,2} - (m-1) B_{mn1,2} - \epsilon' N E_{mn1,2} \right) \right\} \quad (11)$$

次に半径方向の境界条件は

1). $r = a_1$ における条件: 円筒の外側に半径方向に周期的な力が作用するものとすれば、

$$i) \bar{U}_{r1}|_{r=a_1} = P(\theta, z), \quad (12)$$

$$ii) \bar{T}_{r0,1}|_{r=a_1} = 0, \quad \therefore \alpha_{mn1,1} = 0 \quad (13)$$

$$iii) \bar{T}_{rz,1}|_{r=a_1} = 0, \quad (14)$$

2) $r = a_2$ における条件: 円柱と円筒の境界面ではその状態により2通り考えられる。この一つは境界面で変位および、この面に生じている応力が等しい場合であり、もう一つは境界面上にせん断応力が存在しない場合であるが、ここでは前者の条件によるものとする。従って

$$iv) U_1|_{r=a_2} = U_2|_{r=a_2}, \quad U_r|_{r=a_2} = U_z|_{r=a_2}, \\ \therefore A_{mn1,2} = A_{mn2,1}, \quad B_{mn1,2} = B_{mn2,1}, \quad (15)$$

$$v) \bar{W}_1|_{r=a_2} = \bar{W}_2|_{r=a_2} \quad \therefore E_{mn1,2} = E_{mn2,1} \quad (16)$$

$$vi) \bar{U}_{r1}|_{r=a_2} = \bar{U}_{rz}|_{r=a_2} \quad \therefore \beta_{mn1,2} = \beta_{mn2,1} \quad (17)$$

$$vii) \bar{T}_{r0,1}|_{r=a_2} = \bar{T}_{rz,1}|_{r=a_2} \quad \therefore \alpha_{mn1,2} = \alpha_{mn2,1} \quad (18)$$

$$viii) \bar{T}_{rz,1}|_{r=a_2} = \bar{T}_{rz,2}|_{r=a_2} \quad (19)$$

となる。式(14), (19)のために \bar{T}_{rz} を求めるには円筒に対して

$$\begin{aligned} \bar{T}_{rz,1} &= \frac{2}{\pi C} \sum_{k=1}^{\infty} \sum_{m=0}^{\infty} \sum_{n=1}^{\infty} \left[\frac{i'mN}{N_{\alpha}, r} G_m^{(k)}(N_{\alpha}, r) \alpha_{mn1,2} \right. \\ &\quad \left. + \frac{i'MN^2}{P_1 P_2} \left\{ 2 \frac{N_{\alpha}}{N} (X_{mp}^{(k)}(N_{\alpha}, r) + \frac{m}{N_{\alpha}, r} G_m^{(k)}(N_{\alpha}, r)) \right. \right. \\ &\quad \left. \left. - \left(\frac{N}{N_{\alpha}} + \frac{N_{\alpha}}{N} \right) X_{mp}^{(k)}(N_{\alpha}, r) + \frac{m}{N_{\alpha}, r} G_m^{(k)}(N_{\alpha}, r) \right\} \beta_{mn1,2} \right. \\ &\quad \left. + 3U_1(m+1) A_{mn1,1} - 3U_1(m-1) B_{mn1,1} - 3U_1' N E_{mn1,1} \right\} \\ &\quad + \frac{c'mN}{r} \frac{3U_1}{N_{\alpha}, r} \left\{ (m+1) A_{mn1,1} + (m-1) B_{mn1,1} \right\} G_m^{(k)}(N_{\alpha}, r) \\ &\quad + M \left(\frac{N^2}{N_{\alpha}, r} + N_{\alpha} \right) \left\{ X_{mp}^{(k)}(N_{\alpha}, r) + \frac{m}{N_{\alpha}, r} G_m^{(k)}(N_{\alpha}, r) \right\} E_{mn1,1} \end{aligned} \quad (20)$$

となる。円柱に対しては、変位と同様、式(20)で、 $k=1$ として、関数を円柱のものに変えてえらべる。

以上より条件から未知定数を求め、変位および応力を求めよう。

4. 数値計算

数値計算例として、簡単な場合の例を示す。外力は円筒軸に対して対称な場合、すなわち $m=0$ の場合

とし、荷重状態は Fig. 2 に示すように、円柱にある波長をもつ正弦外力が作用するものとすれば、図の c/a_1 の値をとれば、軸方向の条件 (4) を満足する。

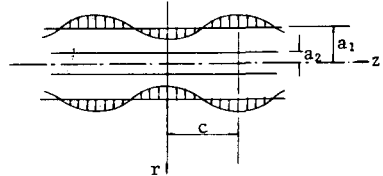


Fig. 2 荷重状態

数値計算に用いた数値は、ボアソン比 $\nu_1 = 1/6$, $\nu_2 = 0.3$, 弹性係数比 $E_2/E_1 = 7.0$, 密度比 $\rho_2/\rho_1 = 3.2$ で $a_2/a_1 = 0.25$ である。

参考のために Fig. 3 に、軸方向の境界条件 (4) を満足する長さの円柱の固有振動周期を示した。図は横軸に円柱の長さを無次元化し、縦軸に固有振動周期を、円筒部の材料のせん断波が円柱を往復する時間との比をとっている。右はせん断波速度を T_{S1} として、次のようになる。

$$T_0 = 2C/T_{S1} = 2C\sqrt{\rho/\mu} \quad (21)$$

また、Fig. 3 には $a_2/a_1 = 0.0, 0.5, 1.0$ のものを合わせて示してあるが、 $a_2/a_1 = 0.0$ は円筒部と同一材料でできている円柱、 $a_2/a_1 = 1.0$ は円柱部のみの場合を示している。

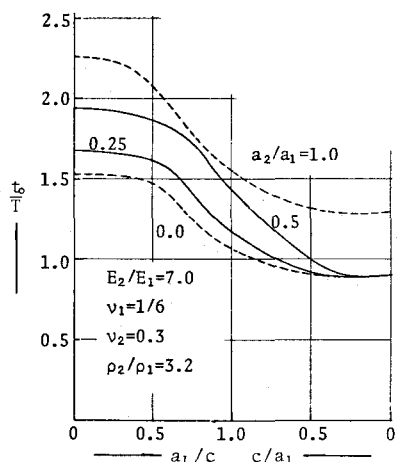


Fig. 3 円柱の固有振動周期 (第一次振動)

次に $c/a_1 = 1.0$ および $1.0/0$ について、外力の円振動数を種々変化させて、応答計算を行なった結果を Fig. 4~7 に示す。

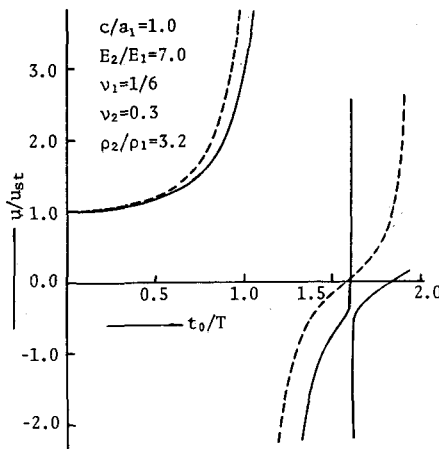


Fig. 4 変位比の応答倍率 ($c/a_1=1.0$)

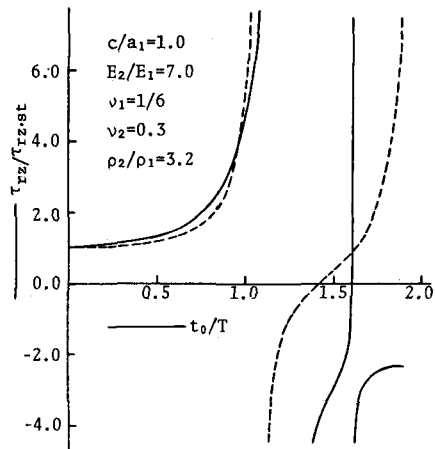


Fig. 5 セン断応力 τ_{rz} の応答倍率 ($c/a_1=1.0$)

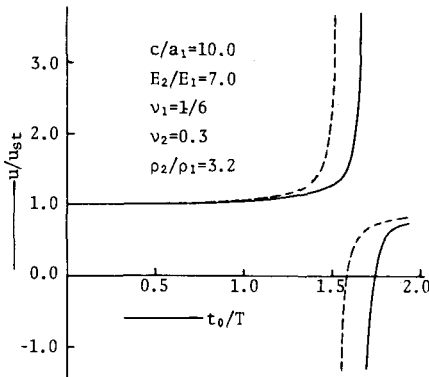


Fig. 6 変位比の応答倍率 ($c/a_1=10.0$)

Fig. 4 は、 $c/a_1=1.0$ のときの半径方向変位 u の値を示したものであるが、横軸には t_0/T 、($T=2\pi/P$) 縦軸は、周期的外力が作用する場合と静的な場合との比をとっている。また、図中の破線は $a_2=0$ の場合、すなわち円筒部と同一材料でできた円柱の場合である。実線と破線を比較したとき、Fig. 3 に示したように、 $c/a_1=1.0$ のときの固有振動周期が $a_2=0$ のとき $\pi/1.581$ 、 $a_2/a_1=0.25$ のとき $\pi/1.613$ となるので、その影響で T の大きいときには破線の方が実線より応答値が大きくなっている。 T の小さい範囲では変化が複雑である。

Fig. 5 は同じ条件のせん断応力度の値を示しているが、せん断応力度は T の大きい範囲では三相円柱の方が大きくなっている。 T が小さくなるに従って、共振周期に近づくためにこの関係は逆転する。

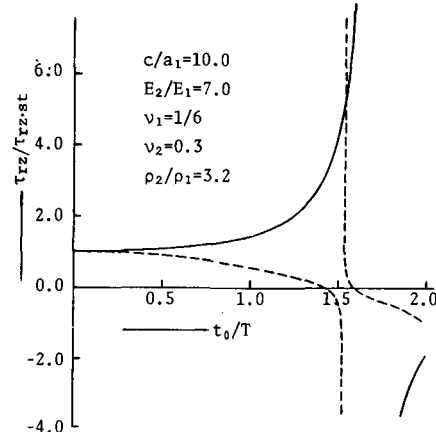


Fig. 7 セン断応力 τ_{rz} の応答倍率 ($c/a_1=10.0$)

Fig. 6、7 には $c/a_1=10.0$ の場合の同様の値を示した。変位は $c/a_1=1.0$ の場合と変らないが、せん断応力度はかなり異なっており、共振周期より大きい周期では、円柱のみの場合は静的な場合より小さくなるが、三相円柱の場合は、他の場合と同様に大きくなっている。

以上、特殊な場合に対する計算を示したが、より一般的な場合の解析については、今後行はう予定である。

参考文献

- 1) 松岡・能町：土木学会北海道支部論文報告集，第3号，P. 94～97
- 2) 松岡・能町：土木学会第34回年次学術講演会講演概要集 第1部，P. 495～496